

PAPER DETAILS

TITLE: SILINDIRIK MISIR DEPOLAMA YAPILARINDA TANE NEM KAPSAMINA BAGLI
PROJELEME YÜKLERİ

AUTHORS: Turgut ÖZTÜRK,Bilge ESEN,Hakan KIBAR

PAGES: 110-115

ORIGINAL PDF URL: <https://dergipark.org.tr/tr/download/article-file/187705>

SİLİNDİRİK MISIR DEPOLAMA YAPILARINDA TANE NEM KAPSAMINA BAĞLI PROJELEME YÜKLERİ

Turgut ÖZTÜRK Bilge ESEN Hakan KİBAR
Ondokuz Mayıs Üniversitesi, Ziraat Fakültesi, Tarımsal Yapılar ve Sulama Bölümü, Samsun

Sorumlu yazar: turgutoz@omu.edu.tr

Geliş Tarihi: 15.02.2008

Kabul Tarihi: 30.05.2008

ÖZET: Bu araştırmada serbest akış sisteme sahip çelik konstrüksiyon 1000 ton depolama kapasiteli silindirik bir misir depolama yapısındaki projeleme yükleri tane nem kapsamındaki değişimle bağlı olarak incelenmiştir. Çalışmada misir çeşidi olarak Karadeniz Yıldızı, Cin, TTM-813, Akpinar ve Şeker misir çeşitleri kullanılmıştır. Misir tanelerinin önce birim hacim ağırlık, özgül ağırlık, içsel sürtünme açısı, basınç oranı, statik sürtünme katsayısı gibi fiziksel ve mekanik özelliklerini saptanmış, daha sonra hazırlanan MS Visual Basic 6.0 yazılım programıyla depo yük analizleri yapılmıştır. Araştırma sonucunda tane nem kapsamındaki artışın (% 8-14), depo sistem projeleme yüklerinde % 19.33 ile % 30.57 arasında değişen azalmaya neden olduğu, projeleme yükündeki azalma oranlarının nem kapsamına ve çeşide bağlı olarak değiştiği saptanmıştır.

Anahtar Kelimeler: Misir, fiziksel özellikler, mekanik özellikler, projeleme yükü, visual basic

THE DESIGN LOADS DEPEND ON THE GRAIN MOISTURE CONTENT IN A CYLINDRICAL STORAGE STRUCTURE FOR CORN

ABSTRACT: In this study, design loads depend on the grain moisture content in a cylindrical storage structure for corn which has system of free flow; steel construction and 1000 ton storage capacity were investigated. In the research, the corn varieties of Karadeniz Yıldızı, Cin, TTM-813, Akpinar and Şeker were used. Firstly, the physical and mechanical properties such as bulk density, true density, angle of internal friction, ratio of pressure, static coefficient of friction of corn grains were determined. Load analysis was then calculated using software program of MS Visual Basic 6.0. The results of research show that increase of the grain moisture content caused decrease at design loads of storage system in the variation ratios from 19.33 % to 30.57 %. The decrease ratios of design load were occurred depend on moisture content and variety.

Key Words: Corn, physical properties, mechanical properties, design load, visual basic

1. GİRİŞ

Misir sahip olduğu zengin besin maddeleri nedeniyle çok değerli ve kullanım çeşitliliği olan bir üründür. Misir doğrudan gıda olarak insan beslenmesinde kullanıldığı gibi nişasta glikoz, yağ ve yem sanayinde de hammadde olarak kullanılmaktadır (Kırtok, 1998). Misir dünya tahlil ekilişinde ve üretiminde buğday ve çeltikten sonra üçüncü sırayı almaktadır. Dünya misir üretiminin yaklaşık % 45' ini tek başına Amerika Birleşik Devletleri karşılıkta, misir üretiminde söz sahibi olan diğer ülkeler Meksika, Arjantin, Brezilya, Çin ve Rusya'dır (Kurt, 2002). Türkiye'de misir 545 bin ha ekim alanına ve 3 milyon ton üretim değerine sahiptir (Anonymous, 2007). Ülkemizde misir tarımının en yaygın olduğu bölgeler başta Karadeniz olmak üzere, Marmara ve Ege bölgeleridir (Sencar ve ark, 1997).

Taneli ürünlerin biyolojik orijinli olması nedeniyle bu tür biyolojik malzemelerin tane deformasyonu ve mekanik özelliklerini üzerinde ürün nem kapsamının etkisi büyiktür. Bu nedenle taneli ürünlerin temel fiziksel özelliklerinin nem kapsamı dikkate alınarak belirlenmesi bu konuda geliştirilecek olan kuramsal eşitliklerin uygulanabilirliği açısından önemlidir (Mohsenin, 1980).

Taneli ürünlerin nem kapsamına bağlı fiziksel ve mekanik özelliklerini, depolama ekipmanlarının seçimi ve depolama yapılarının projelendirilmesinde

oldukça önemlidir. Ürünün bu özelliklerinin göz ardı edilerek depolama ekipmanlarının seçimi ve depoların projelendirilmesi olumsuz sonuçlara yol açmaktadır (Molenda ve ark. 2004; Kashaninejad ve ark., 2006).

Bütün taneli tarımsal ürünlerin serbest akış sisteminde depolanabilmesi için ürünün oluşturacağı depolama yüklerinin mühendislik uygulamalarında önceden tahmin edilmesi gereklidir. Bu açıdan belirlenen akış tipine göre depoların projelendirilmesi yapılır (Anonymous, 1992).

Bu araştırmada Türkiye'de üretilen bazı önemli misir çeşitlerinde (Karadeniz Yıldızı, Cin, TTM-813, Akpinar ve Şeker) tane nem kapsamına bağlı fiziksel ve mekanik parametrelerdeki değişimlerin (birim hacim ağırlık, özgül ağırlık, içsel sürtünme açısı, basınç oranı, statik sürtünme katsayısı) serbest akış sistemine sahip 1000 ton depolama kapasiteli silindirik model bir depo sisteminde projeleme yükleri MS Visual Basic 6.0 yazılım programıyla hazırlanmış bir bilgisayar programı kullanılmak suretiyle analiz edilmiştir.

2. MATERİYAL VE METOT

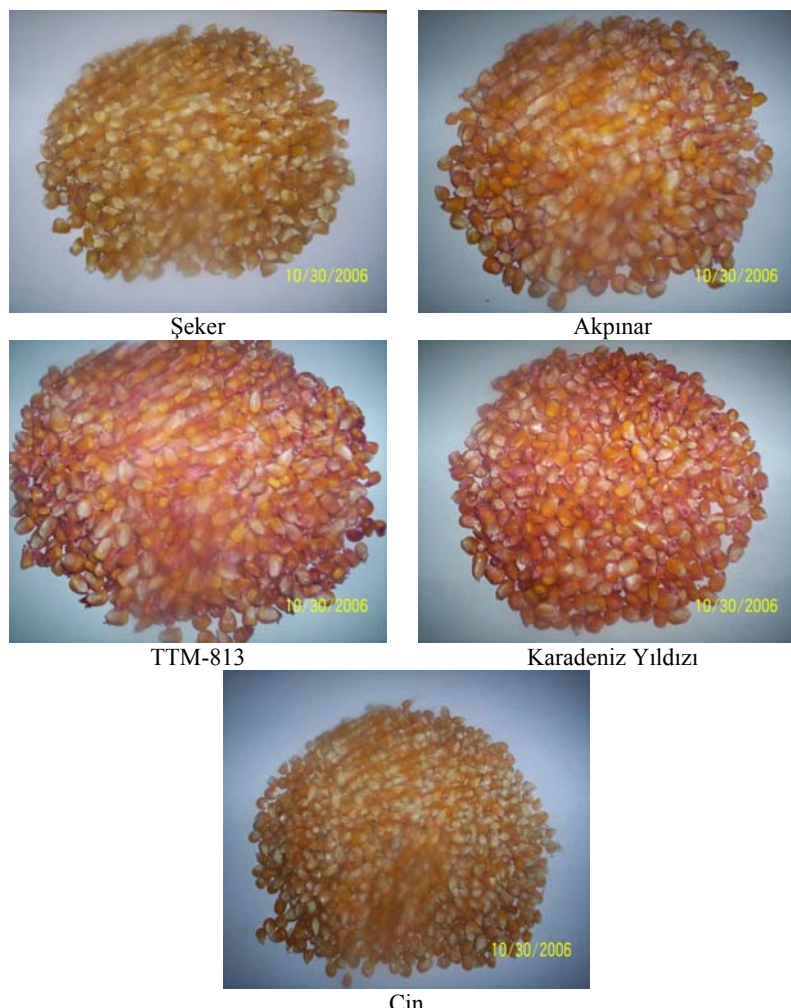
2.1. Deneyel uygulamalar

Araştırma materyali olarak Türkiye'de yaygın üretimi yapılan dent corn (Karadeniz Yıldızı ve TTM-813), pop corn (Cin) ve sweet corn (Şeker) misir çeşitleri kullanılmıştır (Şekil 1). Araştırma

materyalleri laboratuar koşullarında oda sıcaklığında kurutulduktan sonra parçalanmış, çatlamış, bozulmuş ve şekil bozukluğu gözlenen taneler ayrılarak deneye hazır hale getirilmiştir. Deneylere hazırlanan mısır

çeşitlerinde öncelikle hasat nemi göz önüne alınarak depolama nem içerikleri (%8, 10, 12, 14) oluşturulmuştur.

Simgeler	
Q	ilave su miktarı (g),
w_i	kuru örnek ağırlığı (g),
m_i	örnek başlangıç nem içeriği (%),
m_f	örnek son nem içeriği (%),
ρ_h	birim hacim ağırlık (kg.m^{-3}),
g_1	birim ağırlık kabının boş ağırlığı (kg),
g_2	birim ağırlık kabı+deney örneği ağırlığı (kg),
v	birim ağırlık kovasının iç hacmi (m^3),
ρ_o	özgül ağırlık (kg.m^{-3}),
m_s	sivinin-toluene- ağırlığı (kg),
m_w	hava kurusu örnek ağırlığı (kg),
v_s	sivinin (toluene) hacmi (m^3),
L	yanal basınç (kg.f.m^{-2}),
h	yığın yüksekliği (m),
v_w	örnek hacmi (m^3),
σ	normal gerilme (kg.f.m^{-2}),
N	örnek üzerine uygulanan yük (kg.f),
A	hücresel alan (cm^2),
τ	kesme gerilmesi (kg.f.m^{-2}),
T	kesme kuvveti (kg.f),
c	kohezyon katsayısı,
ϕ	içsel sürtünme açısı (derece),
μ_s	statik sürtünme katsayısı,
f_s	sürtünme kuvveti (kg.f),
w_n	normal kuvvet (kg.f),
R	depo hidrolik yarıçapı (m),
k	basınç oranı



Şekil 1. Araştırma materyali olarak kullanılan mısır çeşitleri

Misir çeşitlerinde istenilen nem içeriklerinin oluşturulmasında laboratuar koşullarındaki ürün denge nem referans alınmıştır. Bu bağlamda denge nem düzeyinin altındaki durumlar için kurutma yapılırken, denge nem düzeyinin üzerindeki durumlar için Balasubramanian (2001) tarafından geliştirilen eşitlik 1 kullanılmak suretiyle ilave su miktarı belirlenmiş ve belirlenen bu su miktarı ürüne emdirilmiştir.

$$Q = \frac{w_i(m_f - m_i)}{100 - m_f} \quad (1)$$

Farklı nem düzeylerindeki misir örneklerinin birim hacim ağırlığı tayininde Mohsenin (1980), Singh ve Goswami (1996) tarafından önerilen eşitlik 2 kullanılmıştır.

$$\rho_h = \frac{g_2 - g_1}{v} \quad (2)$$

Misir örneklerinin özgül ağırlık tayininde sıvinin seviye değiştirmesi yöntemi esas alınarak Aydin (2002) ve Abalone ve ark., (2004) tarafından önerilen eşitlik 3 kullanılmıştır. Yöntemde sıvı olarak misir örneklerinin daha az absorbe etmesi ve yüzeysel geriliminin düşük olması nedeniyle toluene (C_7H_8) kullanılmıştır.

$$\rho_{\ddot{o}} = \frac{m_s + m_w}{v_s + v_w} \quad (3)$$

Misir çeşitlerinin içsel sürtünme açılarının belirlenmesinde Uzuner (1996), Zou ve Brusewitz (2001), Molenda ve ark., (2002) ile Mani ve ark., (2004)'deki esaslar göz önüne alınarak direkt kesme yöntemi uygulanmış ve bu bağlamda direkt kesme test cihazı (O.M.U. Müh. Fak. İnşaat Müh. Böl.) kullanılmıştır. Misir örneklerinin içsel sürtünme açılarının hesaplanmasında eşitlik 4, 5, 6 kullanılmıştır.

$$\sigma = \frac{N}{A} \quad (4)$$

$$\tau = \frac{T}{A} \quad (5)$$

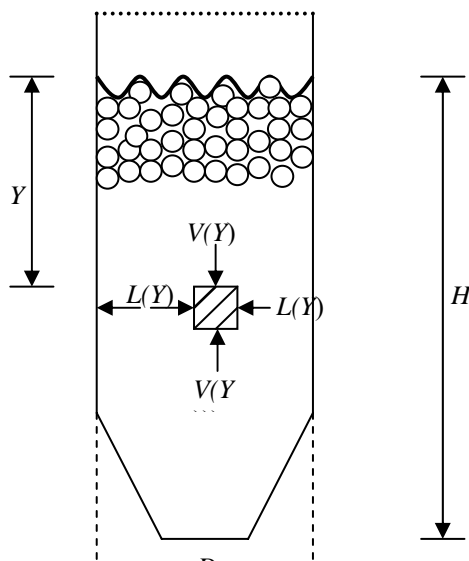
$$\tau = (c + \sigma \times \tan \phi) \quad (6)$$

Deney örneklerinin statik sürtünme katsayıları Beyhan ve ark., (1994)'na göre eşitlik 7 kullanılmak suretiyle hesaplanmıştır.

$$\mu_s = \frac{f_s}{w_n} \quad (7)$$

2.2. Kuramsal uygulamalar

Çalışma kapsamında kuramsal olarak oluşturulan silindirik depo için ürün depolama yüksekliği 12.0 m ve depo çapı 12.0 m olarak alınmıştır. Bu bağlamda serbest akış sistemine sahip çelik konstrüksiyon 1000 ton depolama kapasiteli silindirik model silonun kesit geometrisine ilişkin özellikler Şekil 2'de verilmiştir.



Şekil 2. Model depo kesit geometrisi

Şekilde;

H : Ürün yüksekliği, m

D : Depo çapı, m

Y : Eşdeğer yoğun derinliği, m

$L(Y)$: Herhangi bir Y derinliğinde ürün yanal basıncı, kg.f.m^{-2}

$V(Y)$: Herhangi bir Y derinliğinde ürün düşey basıncı, kg.f.m^{-2} ifade etmektedir.

Misir çeşitlerinde tane nem kapsamındaki değişimle, fiziko-mekanik tasarım parametrelerine bağlı projeleme yüklerinin belirlenmesinde Anonymous (1983) ve Anonymous (1992) esas alınmıştır. Bu bağlamda eşitlik 8' de verilen klasik Jansenn eşitliğini esas alan bir MS Visual Basic 6.0 yazılım programı kullanılmak suretiyle yük analizleri yapılmıştır.

$$L = \frac{\rho_h x R}{4 \mu_s} x \left(h + \frac{e^{-4xkx\mu x h/R}}{4xkx\mu/R} - \frac{R}{4xkx\mu} \right) \quad (8)$$

Programda öncelikle ürün kitlesine bağlı olarak yanal ve düşey basıncı hesaplayan bir pencere açılmaktadır (Şekil 3). Bu sayfada kullanıcıya hidrolik yarıçap, ürün birim hacim ağırlığı, depo üst düzeyinden olan derinlik, içsel sürtünme açısı, ürün yoğunluğu ve statik sürtünme katsayı ile ilgili bilgiler sorulmaktadır. Tüm bu bilgiler girildikten sonra hesapla komutu ile program silindirik misir depolama yapısında meydana gelen yanal ve düşey basıncı hesaplamaktadır (Şekil 4).

Hidrolik Yançap	2.5	m
Ürün birim hacim ağırlığı	680	kg / m ³
Depo üst düzeyinden olan derinlik	3	m
İçsel sürtünme açısı	34	derece
Ürün yoğun yükseliği	12	m
Ürün kitesi ile depo duvarı arasındaki statik sürtünme katsayısı	0.320	
<input type="button" value="Temizle"/>		<input type="button" value="Hesapla"/>

Şekil 3. Program giriş verileri

Depo üst düzeyinin altında Y derinliğinde oluşan yanal duvar basıncı	546,499	kg / m ²
Yanal proje basıncı	8377,16	kg / m ²
Depo üst düzeyinin altında Y derinliğinde oluşan düşey basıncı	2680,691	kg / m ²
<input type="button" value="Kapat"/>		

Şekil 4. Mısır deposunda oluşan yanal ve düşey basınçlar

3. BULGULAR VE TARTIŞMA

3.1. Deneyel uygulamalara ilişkin bulgular

Farklı nem içeriklerindeki Karadeniz Yıldızı, Cin, TTM-813, Akpinar ve Şeker mısır çeşitlerinde saptanın birim hacim ağırlık sonuçları Çizelge 1'de verilmiştir. Çizelge 1'den de görülebileceği gibi mısır örneklerinin birim hacim ağırlıkları nem içeriğine bağlı olarak $608.46-856.46 \text{ kg.m}^{-3}$ arasında değişim göstermiştir.

Mısır örneklerinde çeşide bağlı özgül ağırlık değerleri Çizelge 2'de verilmiştir. Çeşitlerin özgül ağırlıkları $950.88-1110.89 \text{ kg.m}^{-3}$ arasında değişmekte olup, tane nem kapsamındaki artışa bağlı olarak özgül ağırlıklar; Karadeniz Yıldızı, Cin ve Akpinar çeşitlerinde azalırken, TTM-813 ve Şeker mısır çeşitlerinde artış göstermiştir. Mısır çeşitlerinde özgül ağırlıkların artma ve azalma eğilimlerinin çeşitlerin fiziksel yapısından kaynaklandığı söylenebilir. Bu bağlamda Kirtok (1998)'un da belirttiği gibi özellikle nişasta tipi (sert veya yumuşak) ve nişasta tipinin çeşitli mevcut oransal değerleri etkili

olabilmektedir. Bu açıdan bünyesinde sert nişasta oranı yüksek olan TTM-813 ve Şeker mısır çeşitlerinde özgül ağırlık değerleri nem kapsamına bağlı olarak artış göstermiştir. Karababa (2006) ile Kashaninejad ve ark., (2006)'nın yapmış oldukları çalışmalar da benzer sonuçlar elde edilmiştir.

Mısır örneklerine ilişkin içsel sürtünme açıları Çizelge 3'te verilmiştir. Çizelge 3'ten de görülebileceği gibi en yüksek ve en düşük içsel sürtünme açıları Şeker mısır çeşidine 25.2° ve 34.2° olarak %8-14 nem içeriklerinde saptanmıştır.

Mısır çeşitlerinde tane nem kapsamındaki değişimde bağlı statik sürtünme katsayıları Çizelge 4'te verilmiştir. Çizelge 4'ün incelenmesiyle de görülebileceği gibi tane nem içeriğinin artışı ile sürtünme yüzeyine bağlı statik sürtünme katsayıları tüm çeşitlerde doğrusal bir artış göstermiştir.

3.2. Kuramsal uygulamalara ilişkin bulgular

Diğer taneli ürün depolama yapılarında olduğu gibi araştırmaya esas olan mısır depolama yapılarında

da proje basıncı olarak yanal basınç esas alınmıştır (Anonymus, 1992). Bu bağlamda depo kesit geometrisi sabit kalmak koşuluyla, misir çeşitleri için tane nem kapsamındaki değişimle ürün fizikomekanik tasarım parametrelerine bağlı olarak hesaplanan yanal basınç değerleri Çizelge 5'te verilmiştir.

Çizelge 5' ten de görülebileceği gibi misir örneklerinde tane nem kapsamı arttıkça silo yanal basıncı azalmaktadır. Bu durumun temel nedeni Ayuga ve ark., (2005)'nın da belirttiği gibi ürün kitlesi ile silo duvarı arasında oluşan statik sürtünme katsayısıdır. Depolanan tarımsal taneli ürün kitlesi ve silo malzemesine bağlı olarak değişmekte birlikte statik sürtünme katsayılarındaki artış silo yanal basıncında azalmaya neden olmaktadır. Mısır tane nem kapsamındaki artışa bağlı silo yanal basıncındaki azalma oranları Karadeniz Yıldızı çeşidinde %19.33, Cin ve TTM-813 çeşidinde %28.78, Akpınar çeşidinde %28.34 ve Şeker çeşidinde % 30.57 olarak

gerçekleşmiştir. Yanal basınçtaki azalma üzerinde misir çeşitlerinin sahip oldukları belirli özelliklerde etkili olmaktadır. Bu bağlamda dikkate alınacak faktörler ürünün tane boyut özellikleri ile fiziksel yapısında bulunan nişasta tipi ve nişasta tipinin oransal değeridir. Çalışma da materyal olarak kullanılan misir çeşitlerinden Şeker çeşidine sert nişasta oranının fazla olması nedeniyle (Kırtok, 1998) tane nem kapsamındaki artışa bağlı en düşük yanal basınç değeri bu çeşitte saptanmıştır.

Yüksek depo karakteristik özelliklerine sahip çelik konstrüksiyon silindirik depolarda misirin oluşturduğu yanal basınç değeri arttıkça bu basıncı karşılayacak olan malzeme kalınlığı da artış göstermeyecektir, bu durum silo yapım maliyetine yansımaktadır. Mısırın yüksek depo karakteristik özelliklerine sahip çelik konstrüksiyon silindirik depolarda muhafazasında, çeşide bağlı tane nem kapsamı silo yanal basıncını etkileyen önemli bir parametredir.

Çizelge 1. Birim hacim ağırlıklar

Nem İçeriği (%)	Birim Hacim Ağırlık (kg.m^{-3})				
	Karadeniz Yıldızı	Cin	TTM-813	Akpınar	Şeker
8	799.90	856.46	734.59	768.20	641.47
10	797.50	843.57	715.70	754.35	631.54
12	794.20	832.49	713.76	744.57	619.33
14	792.86	826.15	699.86	731.67	608.46

Çizelge 2. Özgül ağırlıklar

Nem İçeriği (%)	Özgül ağırlık (kg.m^{-3})				
	Karadeniz Yıldızı	Cin	TTM-813	Akpınar	Şeker
8	963.18	1110.89	986.94	1005.62	956.25
10	958.90	1076.91	1004.20	997.08	965.40
12	955.94	1060.14	1044.96	981.32	972.77
14	950.88	1049.66	1055.07	970.07	980.03

Çizelge 3. İçsel sürtünme açıları

Nem İçeriği (%)	İçsel Sürtünme Açısı (derece)				
	Karadeniz Yıldızı	Cin	TTM-813	Akpınar	Şeker
8	27.2	27.2	26.8	27.0	25.2
10	28.8	29.0	27.7	27.7	30.3
12	30.7	30.3	30.5	29.7	32.3
14	32.3	33.2	32.8	32.2	34.2

Çizelge 4. Misir çeşitlerinde statik sürtünme katsayıları*

Nem İçeriği (%)	Statik Sürtünme Katsayısı				
	Karadeniz Yıldızı	Cin	TTM-813	Akpınar	Şeker
8	0.532	0.339	0.478	0.461	0.457
10	0.585	0.357	0.547	0.583	0.527
12	0.631	0.454	0.643	0.620	0.573
14	0.654	0.488	0.660	0.644	0.603

* Sürtünme yüzeyi galvanizli çelik

Çizelge 5. Mısır çeşitlerinde tane nem kapsamındaki değişime bağlı yanal basınçlar

Mısır çeşitleri	Nem İçeriği (%)	ρ_h (kg.m ⁻³)	ϕ (Derece)	μ	L (kg.f.m ⁻²)
Karadeniz yıldızı	8	799.90	27.2	0.532	9444
	10	797.50	28.8	0.585	8663
	12	794.20	30.7	0.631	7996
	14	792.86	32.3	0.654	7618
Cin	8	856.46	27.2	0.339	12977
	10	843.57	29.0	0.357	12014
	12	832.49	30.3	0.454	10235
	14	826.15	33.2	0.488	9242
TTM- 813	8	734.59	26.8	0.478	9317
	10	715.70	27.7	0.547	8243
	12	713.76	30.5	0.643	7121
	14	699.86	32.8	0.660	6635
Akpinar	8	768.20	27.0	0.461	9922
	10	754.35	27.7	0.583	8341
	12	744.57	29.7	0.620	7692
	14	731.67	32.2	0.644	7110
Şeker	8	641.47	25.2	0.457	8568
	10	631.54	30.3	0.527	7143
	12	619.33	32.3	0.573	6448
	14	608.46	34.2	0.603	5948

4. SONUCLAR

- Çalışma kapsamında aşağıdaki bulgular elde edilmiştir;
1. Mısır tanelerinin depolama sırasında oluşturacağı yanal basınç tane nemini arttıkça çeşide bağlı olarak azalma göstermektedir.
 2. Mısır tane nem kapsamındaki artışa bağlı silo yanal basincındaki azalma oranları Karadeniz Yıldızı çeşidine %19.33, Cin ve TTM-813 çeşidine %28.78, Akpinar çeşidine %28.34 ve Şeker çeşidine % 30.57 olarak gerçekleşmiştir.
 3. Tane nem kapsamına bağlı depo yanal basincındaki azalım üzerinde mısır çeşitlerinin sahip oldukları belirli özelliklerde etkili olmaktadır. Bu bağlamda dikkate alınacak faktörler ürünün tane boyut özellikleri ile fiziksel yapısında bulunan nişasta tipidir.
 4. Mısırın yüksek depo karakteristik özelliklerine sahip çelik konstrüksiyon silindirik depolarda muhafazasında, çeşide bağlı tane nem kapsamı silo yanal basincını etkileyen önemli bir parametredir.

5. KAYNAKLAR

- Abalone, R., Cassinera, A., Gaston, A., Lara, M. A., 2004. Some Physical Properties of Amaranth Seeds. Biosystems Engineering, 89(1): 109-117.
- Anonymous, 1983. Structures and Environment Handbook Chapter 101.1: Loads, 11th Edition, MPWS. USA.
- Anonymous, 1992. Design and Management of Storages for Bulk, Foll-Crop. ASAE Engineering Practice: ASAE EP 475.
- Anonymous, 2007. Türkiye Mısır Üretimi. <http://www.die.gov.tr> [Ulaşım: 5 Haziran 2007].
- Aydin, C., 2002. Physical Properties of Hazelnuts. Biosystems Engineering, 82(3): 297-303.
- Ayuga, F., Aguado, P., Gallelo, E., Ramirez, A., 2005. New Steps Towards The Knowledge of Silos Behavior. International Agrophysics, 19: 7-17.
- Balasubramanian, D., 2001. Physical Properties of Raw Cashew Nut. Journal of Agricultural Engineering Research, 78(3): 291-297.
- Beyhan, M. A., Nalbant, M., Tekgüler, A., 1994. Tane ve Zuruflu Fındıkların Sırtunme Katsayılarının Değişik Yüzeyler İçin Belirlenmesi. Tarımsal Mekanizasyon 15. Ulusal Kongresi, 20-22 Eylül 1994, Antalya.
- Karababa, E., 2006. Physical Properties of Popcorn Kernels. Journal of Food Engineering, 72(1), 100-107.
- Kashaninejad, M., Mortazavi, A., Safekordi, A., Tabil, L.G., 2006. Some Physical Properties of Pistachio (*Pistacia Vera L.*) Nut and Its Kernel. Journal of Food Engineering, 72: 30-38.
- Kırtok, 1998., Mısır Üretimi ve Kullanımı. Kocaoluk Basım ve Yayınevi, İstanbul.
- Kurt, O., 2002. Tarla Bitkileri Yetiştirme Tekniği. Ondokuz Mayıs Üniversitesi Ziraat Fakültesi Ders Kitabı No: 44, Samsun.
- Mani, S., Tabil, L. G., Sokhansanj, S., 2004. Mechanical Properties of Corn Stover Grind. Transactions of The ASAE, 47(6): 1983-1990.
- Molenda, M., Montross, M. D., Horabik, J., Ross, I. J., 2002. Mechanical Properties of Corn and Soybean Meal. Transactions of the ASAE, 45(6): 1929-1936.
- Molenda, M., Horabik, J., Thompson, S. A., Ross, I. J., 2004. Effects of Grain Properties on Loads in Model Silo. International Agrophysics, 18, P. 329-332.
- Mohsenin, N.N., 1980. Structure, Physical Characteristics and Mechanical Properties of Plant and Animal Materials. Gordon and Breach Science Publishers, New York.
- Sencar ,Ö., Gökmen, S., Yıldırım, A., Kandemir, N., 1997. Tarla Bitkileri Üretimi. Gaziosmanpaşa Üniversitesi Ziraat Fakültesi Ders Kitabı No: 3, Tokat.
- Singh, K. K., Goswami, T. K., 1996. Physical Properties of Cumin Seed. Journal of Agricultural Engineering Research, 64(2): 93-98.
- Uzuner, B. A., 1996. Temel Zemin Mekanığı. Teknik Yayınevi, Ankara.
- Zou, Y., Brusewitz, G. H., 2001. Angle of Internal Friction and Cohesion of Consolidated Ground Marigold Petals. Transactions of the ASAE, 44(5): 1255-1259.